

01;03

О некоторых особенностях нелинейного резонансного четырехмодового взаимодействия капиллярных осцилляций заряженной капли

© С.О. Ширяева, А.Н. Жаров, А.И. Григорьев

Ярославский государственный университет им. П.Г. Демидова,
150000 Ярославль, Россия
e-mail: shir@uniyar.ac.ru

(Поступило в Редакцию 5 июня 2003 г.)

Исследованы закономерности перекачки энергии из высоких мод капиллярных осцилляций заряженной капли идеальной несжимаемой жидкости в наименьшую основную при четырехмодовом резонансе, проявляющемся при решении задачи о нелинейных осесимметричных капиллярных колебаниях капли в третьем порядке малости по амплитуде многомодовой начальной деформации ее равновесной формы. Показано, что хотя указанное резонансное взаимодействие приводит к раскачке основной моды уже в первом порядке малости, из-за небольшой величины численных коэффициентов амплитуда основной моды получается сравнимой с квадратичной по малому параметру поправкой к ней, появляющейся за счет нерезонансного нелинейного взаимодействия.

Задача об исследовании нелинейных осцилляций заряженной капли неоднократно решалась в постановках различной сложности и строгости (см., например, [1–8] и указанную там литературу) в связи с многочисленными академическими, техническими и технологическими приложениями. Тем не менее некоторые вопросы, представляющие значительный интерес, остались за рамками проведенных исследований. Это, в частности, относится к возможности резонансной раскачки амплитуды основной моды за счет перекачки в нее энергии из высоких мод. Данная проблема имеет принципиальное значение для теории грозового электричества в связи с обсуждающимся механизмом инициирования разряда молнии коронным разрядом в окрестности заряженной крупной капли или обводненной градины в грозовом облаке [9,10]. Несмотря на очевидную привлекательность такого механизма, пока нет доказательств возможности его реализации: согласно данным натурных измерений [11], собственные заряды крупных капель и градин в облаках слишком малы для того, чтобы в их окрестности мог зажечься коронный разряд или реализоваться неустойчивость заряженной поверхности капли. В то же время очевидно, что при вытягивании капли в фигуру, близкую к сфероиду, напряженность поля у ее вершин существенно увеличивается. Одной из возможностей вытягивания капли в сфероид является возбуждение основной моды ее осцилляций при резонансной перекачке энергии из высоких мод осцилляций в основную [12–14]. Однако проведенные расчеты [12–13] показывают, что при трехмодовом нелинейном резонансном взаимодействии осцилляций капли наименьшей модой, в которую возможна перекачка энергии из высоких мод, является третья. Только в расчетах третьего порядка малости по амплитуде начальной деформации капли, когда проявляются четырехмодовые резонансы, основная (вторая) мода включается в ре-

зонансное взаимодействие с высокими модами [8,15]. Заметим, что трехмодовые резонансы, проявляющиеся в расчетах второго порядка малости, приводят при реализации к эффекту первого порядка малости: амплитуда моды, раскачиваемой за счет перекачки энергии из высоких мод, имеет первый порядок малости [13] и может превышать амплитуды изначально возбужденных высоких мод. В этой связи возникает и чисто академический вопрос теории нелинейного взаимодействия: каким порядком малости будет характеризоваться мода, раскачиваемая за счет резонансной перекачки энергии при четырехмодовом взаимодействии, проявляющемся лишь в третьем порядке малости? С целью отыскания ответов на поставленные вопросы и решалась приведенная ниже задача.

1. Рассмотрим каплю радиуса R , обладающую зарядом Q , идеальной несжимаемой идеально проводящей жидкости с плотностью ρ и коэффициентом поверхностного натяжения γ в условиях отсутствия внешней среды и гравитации. Пусть в начальный момент времени равновесная сферическая форма поверхности капли претерпела возмущение малой амплитуды. Зададимся целью проследить временную эволюцию формы поверхности капли и проанализировать закономерности ее колебаний под действием капиллярных и электрических сил. Учитывая, что движение жидкости в капле вызвано малыми колебаниями ее поверхности, можно провести рассмотрение в рамках модели потенциального движения, когда поле скоростей характеризуется потенциалом ψ . Потенциал электрического поля в окрестности капли обозначим ϕ . Форму капли будем считать осесимметричной как в начальной, так и во все последующие моменты времени. Уравнение поверхности капли в сферической системе координат, связанной с ее центром масс, в безразмерных переменных, в которых

$\rho = 1, R = 1, \gamma = 1$, запишем в виде

$$F(r, \vartheta, t) \equiv r - 1 - \xi(\vartheta, t) = 0. \quad (1)$$

где r, ϑ — сферические координаты; $\xi(\vartheta, t)$ — функция, описывающая отклонение формы капли от сферической ($|\xi(\vartheta, t)| \ll 1$).

Математическая формулировка задачи содержит уравнения Лапласа для потенциалов скорости жидкости и электрического поля

$$\Delta\psi = 0; \quad \Delta\phi = 0; \quad (2)$$

условия ограниченности

$$r \rightarrow 0: \quad \nabla\psi \rightarrow 0; \quad (3)$$

$$r \rightarrow +\infty: \quad \nabla\phi \rightarrow 0; \quad (4)$$

кинематическое и динамическое граничные условия

$$r = 1 + \xi(\vartheta, t): \quad -\frac{\partial\xi}{\partial t} + \nabla\psi \cdot \nabla F = 0; \quad (5)$$

$$\frac{\partial\psi}{\partial t} + \frac{1}{2}(\nabla\psi)^2 = p + p_q - p_{am} - p_\sigma; \quad (6)$$

условие неизменности объема капли

$$\int_V r^2 \sin\vartheta \, dr \, d\vartheta \, d\varphi = \frac{4\pi}{3};$$

$$V = \{r, \vartheta, \varphi | 0 \leq r \leq 1 + \xi; 0 \leq \vartheta \leq \pi; 0 \leq \varphi \leq 2\pi\}; \quad (7)$$

условие неподвижности центра масс

$$\int_V \mathbf{r} r^2 \sin\vartheta \, dr \, d\vartheta \, d\varphi = 0; \quad (8)$$

условие постоянства полного заряда

$$\int_S \mathbf{n} \cdot \nabla\phi \, dS = -4\pi Q;$$

$$S = \{r, \vartheta, \varphi | r = 1 + \xi; 0 \leq \vartheta \leq \pi; 0 \leq \varphi \leq 2\pi\}; \quad (9)$$

условие постоянства электрического потенциала вдоль поверхности

$$r = 1 + \xi(\vartheta, t): \quad \phi = \phi_S(t); \quad (10)$$

начальные условия

$$t = 0: \quad \xi = \xi_0 P_0(\cos\vartheta) + \xi_1 P_1(\cos\vartheta) + \varepsilon \sum_{k \in \Omega} h_k P_k(\cos\vartheta); \quad \frac{\partial\xi}{\partial t} = 0. \quad (11)$$

В выражениях (2)–(11) p_{at}, p, p_q, p_σ — атмосферное давление, гидродинамическое давление в равновесном состоянии, давления электрического поля и капиллярное соответственно; \mathbf{n} — вектор нормали к поверхности капли; ϕ_S — электрический потенциал капли; ε — амплитуда начальной деформации, являющаяся малым параметром задачи; Ω — спектр мод, определяющих начальную деформацию; h_k — парциальный вклад k -й моды в начальную деформацию ($\sum_{k \in \Omega} h_k \sim O(1)$); $P_k(\cos\vartheta)$ — полином Лежандра порядка k ; ξ_0, ξ_1 — величины, определенные так, чтобы интегральные условия (7) и (8) выполнялись в начальный момент времени.

Для удобства записи дальнейших выражений расширим множество констант h_k , дополнив его так, что $h_k \equiv 0$ при любых $k \notin \Omega$.

2. Будем решать краевую задачу (2)–(11) методом многих масштабов с точностью до третьего порядка малости по амплитуде начального возмущения ε , представляя все искомые величины в виде разложений по степеням ε и полагая, что они зависят не просто от времени t , но от разных его масштабов $T_j = \varepsilon^j t$ ($j = 0, 1, 2$). Производная по времени t в этом случае выражается через производные по временным масштабам T_j следующим образом:

$$\frac{\partial}{\partial t} = \frac{\partial}{\partial T_0} + \varepsilon \frac{\partial}{\partial T_1} + \varepsilon^2 \frac{\partial}{\partial T_2}.$$

Подставляя разложения

$$\xi = \varepsilon \xi^{(1)} + \varepsilon^2 \xi^{(2)} + \varepsilon^3 \xi^{(3)} + O(\varepsilon^4); \quad (12)$$

$$\psi = \varepsilon \psi^{(1)} + \varepsilon^2 \psi^{(2)} + \varepsilon^3 \psi^{(3)} + O(\varepsilon^4); \quad (13)$$

$$\phi = \phi^{(0)} + \varepsilon \phi^{(1)} + \varepsilon^2 \phi^{(2)} + \varepsilon^3 \phi^{(3)} + O(\varepsilon^4); \quad (14)$$

$$\phi_S = \phi_S^{(0)} + \varepsilon \phi_S^{(1)} + \varepsilon^2 \phi_S^{(2)} + \varepsilon^3 \phi_S^{(3)} + O(\varepsilon^4) \quad (15)$$

в краевую задачу (2)–(11) и собирая слагаемые при одинаковых степенях ε , получим задачи различных порядков малости, которые для краткости изложения вынесены в Приложение А. В разложениях (14), (15) $\phi^{(0)} = Q/r$; $\phi_S^{(0)} = Q$ — решения нулевого порядка малости, т.е. для равновесной сферической поверхности капли.

Очевидно, что в силу линейности уравнений Лапласа функции $\psi^{(k)}$ и $\phi^{(k)}$ являются решениями уравнений, аналогичных (2). Учитывая условия ограниченности (3), (4), можно записать

$$\psi^{(k)} = \sum_{n=1}^{\infty} r^n \cdot D_n^{(k)}(t) \cdot P_n(\cos\vartheta) \quad (k = 1, 2, 3); \quad (16)$$

$$\phi^{(k)} = \sum_{n=0}^{\infty} \frac{F_n^{(k)}(t)}{r^{n+1}} P_n(\cos\vartheta) \quad (k = 1, 2, 3). \quad (17)$$

Функцию, описывающую отклонение формы поверхности капли от сферической, представим в виде аналогичного разложения по полиномам Лежандра

$$\xi^{(k)} = \sum_{n=0}^{\infty} M_n^{(k)}(t) \cdot P_n(\cos \vartheta) \quad (k = 1, 2, 3). \quad (18)$$

Отметим, что в рамках рассмотрения задачи с точностью до третьего порядка малости мы можем определить зависимость временных коэффициентов 1-го порядка в (16)–(18) от трех масштабов времени: $M_n^{(1)}(T_0, T_1, T_2)$, $F_n^{(1)}(T_0, T_1, T_2)$, $D_n^{(1)}(T_0, T_1, T_2)$; зависимость коэффициентов 2-го порядка — от двух масштабов $M_n^{(2)}(T_0, T_1)$, $F_n^{(2)}(T_0, T_1)$, $D_n^{(2)}(T_0, T_1)$; а зависимость коэффициентов 3-го порядка — только от T_0 : $M_n^{(3)}(T_0)$, $F_n^{(3)}(T_0)$, $D_n^{(3)}(T_0)$.

Последовательно используя решения (16)–(18) для разных значений $k = 1, 2, 3$, из систем граничных условий 1-, 2- и 3-го порядков малости получим дифференциальные уравнения, которым должны удовлетворять коэффициенты $M_n^{(k)}(t)$, характеризующие временную эволюцию формы поверхности капли.

3. При решении задачи первого порядка (см. Приложение А) для коэффициентов $M_n^{(1)}(t)$ получим гармоническое уравнение по времени T_0

$$\frac{\partial^2 M_n^{(1)}(t)}{\partial T_0^2} + \omega_n^2 \cdot M_n^{(1)}(t) = 0, \quad (19)$$

где $\omega_n^2 = n(n-1)(n+2-W)$ — собственная частота n -й моды колебаний поверхности капли; $W = Q^2/(4\pi)$ — параметр Рэлея, характеризующий устойчивость капли по отношению к собственному заряду.

Общее решение этого уравнения содержит произвольные функции: одну комплексную либо две действительные, зависящие от временных масштабов T_1, T_2 ,

$$\begin{aligned} M_n^{(1)}(t) &= A_n^{(1)}(T_1, T_2) \exp[i\omega_n T_0] + (\text{к.с.}) \\ &= 2a_n^{(1)}(T_1, T_2) \cos(\omega_n T_0 + b_n^{(1)}(T_1, T_2)). \end{aligned} \quad (20)$$

Здесь и далее (к.с.) означает слагаемые, комплексно-сопряженные с выписанными; $A_n^{(1)}(T_1, T_2) = a_n^{(1)}(T_1, T_2) \times \exp[i b_n^{(1)}(T_1, T_2)]$ — комплексные амплитуды; $a_n^{(1)}(T_1, T_2)$ и $b_n^{(1)}(T_1, T_2)$ — действительные функции, характеризующие амплитуду и фазу колебаний. Вид функций $A_n^{(1)}(T_1, T_2)$, $a_n^{(1)}(T_1, T_2)$, $b_n^{(1)}(T_1, T_2)$ определяется при анализе задач следующих порядков малости.

4. При рассмотрении задачи второго порядка малости (см. Приложение А) для эволюционных коэффициентов $M_n^{(2)}(t)$ получим неоднородное дифференциальное

уравнение

$$\begin{aligned} \frac{\partial^2 M_n^{(2)}(t)}{\partial T_0^2} + \omega_n^2 \cdot M_n^{(2)}(t) &= -2i\omega_n \frac{\partial A_n^{(1)}(T_1, T_2)}{\partial T_1} + \exp[i\omega_n T_0] \\ &+ \sum_{k=2}^{\infty} \sum_{m=2}^{\infty} \{ [\gamma_{kmn} + \omega_k \omega_m \eta_{kmn}] A_k^{(1)}(T_1, T_2) A_m^{(1)}(T_1, T_2) \\ &\times \exp[i(\omega_k + \omega_m)T_0] + [\gamma_{kmn} - \omega_k \omega_m \eta_{kmn}] A_k^{(1)}(T_1, T_2) \\ &\times A_m^{(1)}(T_1, T_2) \exp[i(\omega_k - \omega_m)T_0] + (\text{к.с.}) \}. \end{aligned} \quad (21)$$

Константы γ_{kmn} , η_{kmn} определены в Приложении В.

Для того чтобы решение уравнения (21) не содержало секулярных слагаемых, необходимо из его правой части исключить слагаемые, зависимость которых от времени T_0 определяется выражением $\exp[i\omega_n T_0]$. Это требование позволяет выяснить зависимость функций $A_n^{(1)}(T_1, T_2)$ (или $a_n^{(1)}(T_1, T_2)$ и $b_n^{(1)}(T_1, T_2)$) от временного масштаба T_1 . В простейшем случае такое условие имеет вид

$$\frac{\partial A_n^{(1)}(T_1, T_2)}{\partial T_1} = 0 \quad (22)$$

и означает, что $A_n^{(1)}$, $a_n^{(1)}$ и $b_n^{(1)}$ не зависят от T_1 .

Внимательный анализ функции неоднородности уравнения (21) показывает, что если для каких-либо трех мод капиллярных осцилляций с номерами n, p и q выполняется одно из соотношений $\omega_n = \omega_p \pm \omega_q$, то условия исключения секулярных слагаемых из решений аналогичных уравнений (записанных для мод n, p и q) будет иметь вид системы трех связанных дифференциальных уравнений, определяющих зависимость от временного масштаба T_1 взаимосвязанных функций $A_n^{(1)}(T_1, T_2)$, $A_p^{(1)}(T_1, T_2)$ и $A_q^{(1)}(T_1, T_2)$. В таком случае принято говорить о внутреннем трехмодовом резонансном взаимодействии капиллярных осцилляций капли, рассмотрению которого посвящены работы [12,13].

Общее решение уравнения (21) также содержит произвольные функции: одну комплексную $A_n^{(2)}$ либо две действительные ($a_n^{(2)}$ и $b_n^{(2)}$), но зависящие только от временного масштаба T_1 . В случае отсутствия трехмодовых резонансных взаимодействий решение уравнения (21) для колебательных мод ($n > 2$) имеет вид

$$\begin{aligned} M_n^{(2)}(t) &= A_n^{(2)}(T_1) \exp[i\omega_n T_0] \\ &+ \sum_{k=2}^{\infty} \sum_{m=2}^{\infty} \{ \lambda_{kmn}^{(+)} A_k^{(1)} A_m^{(1)} \exp[i(\omega_k + \omega_m)T_0] \\ &+ \lambda_{kmn}^{(-)} A_k^{(1)} \overline{A_m^{(1)}} \exp[i(\omega_k - \omega_m)T_0] + (\text{к.с.}) \}. \end{aligned} \quad (23)$$

Выражения для констант $\lambda_{kmn}^{(+)}$ и $\lambda_{kmn}^{(-)}$ приведены в Приложении В. Вид функций $A_n^{(2)}(T_1)$, $a_n^{(2)}(T_1)$ и $b_n^{(2)}(T_1)$ (где $A_n^{(2)}(T_1) = a_n^{(2)}(T_1) \exp[i \cdot b_n^{(2)}(T_1)]$) может быть определен лишь в третьем порядке малости.

5. Остановимся более подробно на анализе неоднородного дифференциального уравнения для эволюционных коэффициентов $M_n^{(3)}(t)$, получающегося при рассмотрении системы граничных условий третьего порядка (см. Приложение А)

$$\begin{aligned} \frac{\partial^2 M_n^{(3)}(t)}{\partial T_0^2} + \omega_n^2 M_n^{(3)} t = & - \left\{ 2i\omega_n \left[\frac{\partial A_n^{(2)}}{\partial T_1} + \frac{\partial A_n^{(1)}}{\partial T_2} \right] \right. \\ & + G_n A_n^{(1)} \left. \right\} \exp[i\omega_n T_0] + \sum_{k,g=2}^{\infty} \left\{ H_{kgn}^{0(+)} \exp[i(\omega_k + \omega_g)T_0] \right. \\ & \times (A_k^{(1)} \cdot A_g^{(2)}) + H_{kgn}^{0(-)} \exp[i(\omega_k - \omega_g)T_0] (A_k^{(1)} \overline{A_g^{(2)}}) \left. \right\} \\ & + \sum_{k=2}^{\infty} \frac{1}{(2k+1)} \left\{ [2(n-1)\omega_n \omega_k - \Xi_n] (A_k^{(1)})^2 \right. \\ & \times \exp[i(\omega_n + 2\omega_k)T_0] - (1 - \delta_{n,k}) [2(n-1)\omega_n \omega_k + \Xi_n] \\ & \times \overline{(A_k^{(1)})^2} \exp[i(\omega_n - 2\omega_k)T_0] \left. \right\} A_n^{(1)} \\ & + D_{k,m}^{l,n} [\delta_{m,l+1}(\delta_{k,n-1} + \delta_{k,n+1}) \chi_l \beta_{k,m,1,l,n}^{1(-)} + D_{k,n}^{l,m} H_{k,m,l,n}^{1(-)(+)}] \\ & \times \exp[i\Psi_{k,l,m}^{+(-)} T_0] (A_l^{(1)} \cdot \overline{A_m^{(1)}}) \\ & + D_{k,m}^{l,n} D_{k,l}^{m,n} [\delta_{m,l+1}(\delta_{k,n-1} + \delta_{k,n+1}) \chi_l \beta_{k,m,1,l,n}^{2(+)} + H_{k,m,l,n}^{2(+)(+)}] \\ & \times \exp[i\Psi_{k,l,m}^{(-)} T_0] \overline{(A_l^{(1)} \cdot A_m^{(1)})} \\ & + D_{k,l}^{m,n} [\delta_{m,l+1}(\delta_{k,n-1} + \delta_{k,n+1}) \chi_l \beta_{k,m,1,l,n}^{2(-)} + D_{k,n}^{l,m} H_{k,m,l,n}^{2(-)(-)}] \\ & \times \exp[i\Psi_{k,l,m}^{(-)(+)} T_0] \overline{(A_l^{(1)} \cdot A_m^{(1)})} A_k^{(1)}, \end{aligned} \quad (24)$$

где $\Psi_{k,l,m}^{(\pm)(\pm)} \equiv \omega_k \pm \omega_l \pm \omega_m$, а $\delta_{i,j}$ — дельта-символ Кронекера.

Выражения для коэффициентов, использованных в (24), вынесены в Приложение В. Для краткости при записи (24) в правой его части комплексно-сопряженные слагаемые опущены.

Аналогично тому, как это описано выше, условие исключения секулярных членов из решения уравнения (24) позволяет определить вид функций $A_n^{(1)}(T_2)$ и $A_n^{(2)}(T_1)$. В простейшем случае отсутствия каких-либо резонансных взаимодействий между колебательными модами это условие имеет вид

$$2i\omega_n \left[\frac{\partial A_n^{(2)}(T_1)}{\partial T_1} + \frac{\partial A_n^{(1)}(T_2)}{\partial T_2} \right] + G_n \cdot A_n^{(1)}(T_2) = 0,$$

откуда несложно получить, что

$$b_n^{(1)}(T_2) = \frac{G_n}{2\omega_n} T_2, \quad (25)$$

в то время как $a_n^{(1)}$ не зависит от времени T_2 , а $a_n^{(2)}$ и $b_n^{(2)}$ — от времени T_1 . Выражение (25) определяет поправку 2-го порядка малости к собственным частотам ω_n капиллярных осцилляций капли (см. (20)).

Решение уравнения (24) (из правой части которого исключены слагаемые, приводящие к появлению секулярных членов) после удовлетворения начальным условиям (11) может быть записано в виде

$$\begin{aligned} M_n^{(3)}(t) = & - \sum_{ki \in \Xi}^{\infty} \frac{h_k^2 h_n}{16} \left\{ \frac{[2(n-1)\omega_n \omega_k - \Xi_n]}{(2k+1)\omega_k(\omega_n + \omega_k)} \right. \\ & \times [\cos((\omega_n + 2\omega_k)t) - \cos(\omega_n t)] + (1 - \delta_{n,k}) \\ & \times \frac{[2(n-1)\omega_n \omega_k + \Xi_n]}{(2k+1)\omega_k(\omega_n - \omega_k)} [\cos((\omega_n - 2\omega_k)t) - \cos(\omega_n t)] \left. \right\} \\ & + \sum_{\substack{g=2 \\ k,l,m \in \Xi}}^{\infty} \frac{h_l h_m h_k}{4} (\lambda_{l,m,g}^{(+)} + \lambda_{l,m,g}^{(-)}) \left\{ \frac{H_{kgn}^{0(+)}}{[\omega_n^2 - (\omega_k + \omega_g)^2]} \right. \\ & \times [\cos((\omega_k + \omega_g)t) - \cos(\omega_n t)] + \frac{H_{kgn}^{0(-)}}{[\omega_n^2 - (\omega_k - \omega_g)^2]} \\ & \times [\cos((\omega_k - \omega_g)t) - \cos(\omega_n t)] \left. \right\} + \sum_{k,l,m \in \Xi}^{\infty} \frac{h_l h_m h_k}{4} \\ & \times \left\{ \frac{[\delta_{m,l+1}(\delta_{k,n-1} + \delta_{k,n+1}) \chi_l \beta_{k,m,1,l,n}^{1(+)} + H_{k,m,l,n}^{1(+)(-)}]}{[\omega_n^2 - (\Psi_{k,l,m}^{+)(+)}]^2} \right. \\ & \times [\cos(\Psi_{k,l,m}^{+)(+)} t) - \cos(\omega_n t)] \\ & + \frac{D_{k,m}^{l,n} [\delta_{m,l+1}(\delta_{k,n-1} + \delta_{k,n+1}) \chi_l \beta_{k,m,1,l,n}^{1(-)} + D_{k,n}^{l,m} H_{k,m,l,n}^{1(-)(+)}]}{[\omega_n^2 - (\Psi_{k,l,m}^{+)(-)}]^2} \\ & \times [\cos(\Psi_{k,l,m}^{+)(-)} t) - \cos(\omega_n t)] \\ & + \frac{D_{k,m}^{l,n} D_{k,l}^{m,n} [\delta_{m,l+1}(\delta_{k,n-1} + \delta_{k,n+1}) \chi_l \beta_{k,m,1,l,n}^{2(+)} + H_{k,m,l,n}^{2(+)(+)}]}{[\omega_n^2 - (\Psi_{k,l,m}^{+)(-)}]^2} \\ & \times [\cos(\Psi_{k,l,m}^{(-)(-)} t) - \cos(\omega_n t)] \\ & + \frac{D_{k,l}^{m,n} [\delta_{m,l+1}(\delta_{k,n-1} + \delta_{k,n+1}) \chi_l \beta_{k,m,1,l,n}^{2(-)} + D_{k,n}^{l,m} H_{k,m,l,n}^{2(-)(-)}]}{[\omega_n^2 - (\Psi_{k,l,m}^{(-)(+)}]^2} \\ & \times [\cos(\Psi_{k,l,m}^{(-)(+)} t) - \cos(\omega_n t)] \left. \right\}. \end{aligned}$$

Из вида функции неоднородности уравнения (24) несложно заметить, что помимо трехмодового резонансного взаимодействия, проявившегося при анализе задачи 2-го порядка малости (см. (21)) появляется дополнительная возможность четырехмодового резонансного взаимодействия, когда для собственных частот мод с различными номерами n, p, q и s выполняется какое-либо из соотношений вида $\omega_p \pm \omega_q - \omega_s = \omega_n$ (см. тройную сумму в функции неоднородности уравнения (24)). Возможна также ситуация, когда одна из мод участвует в резонансном взаимодействии дважды, что соответствует

случаю вырожденного резонанса. Кроме того, в рассматриваемом приближении 3-го порядка малости возможно трехмодовое резонансное взаимодействие, при котором происходит обмен энергией между модами 1-го порядка малости, определяющими спектр начальной деформации капли, и модами, возбуждающимися во 2-м порядке малости (см. двойную сумму в функции неоднородности уравнения (24)). Взаимодействия указанных видов в ранее выполненных расчетах третьего порядка малости обнаружены не были [2].

6. Рассмотрим четырехмодовое взаимодействие более подробно. Чтобы отразить близость комбинации частот $\omega_p \pm \omega_q - \omega_s$ к частоте ω_n , введем параметр расстройки $\sigma \sim O(1)$, определяемый соотношением

$$\omega_p \pm \omega_q - \omega_s = \omega_n(1 + \varepsilon^2 \sigma). \quad (26)$$

Выписывая в дополнение к (24) аналогичные уравнения для мод p, q, s и исключая из их правых частей слагаемые, приводящие к появлению секулярных членов в решениях, получим систему связанных дифференциальных уравнений относительно функций $A_j^{(i)}$ (где $i = 1, 2$; $j = n, p, q, s$). Для примера приведем вид такой системы для случая, когда реализуется первая из резонансных ситуаций (26) $\omega_p + \omega_q - \omega_s = \omega_n(1 + \varepsilon^2 \sigma)$,

$$\begin{aligned} -2i\omega_n \frac{\partial A_n^{(2)}(T_1)}{\partial T_1} &= 2i\omega_n \frac{\partial A_n^{(1)}(T_2)}{\partial T_2} + G_n(T_2)A_n^{(1)}(T_2) \\ &\quad - Y_n^{(+)}A_p^{(1)}(T_2)A_q^{(1)}(T_2)\overline{A_s^{(1)}(T_2)} \exp[i\omega_n \sigma T_2]; \\ -2i\omega_p \frac{\partial A_p^{(2)}(T_1)}{\partial T_1} &= 2i\omega_p \frac{\partial A_p^{(1)}(T_2)}{\partial T_2} + G_p(T_2)A_p^{(1)}(T_2) \\ &\quad - Y_p^{(+)}A_n^{(1)}(T_2)A_q^{(1)}(T_2)\overline{A_s^{(1)}(T_2)} \exp[-i\omega_n \sigma T_2]; \\ -2i\omega_q \frac{\partial A_q^{(2)}(T_1)}{\partial T_1} &= 2i\omega_q \frac{\partial A_q^{(1)}(T_2)}{\partial T_2} + G_q(T_2)A_q^{(1)}(T_2) \\ &\quad - Y_q^{(+)}A_n^{(1)}(T_2)A_p^{(1)}(T_2)\overline{A_s^{(1)}(T_2)} \exp[-i\omega_n \sigma T_2]; \\ -2i\omega_s \frac{\partial A_s^{(2)}(T_1)}{\partial T_1} &= 2i\omega_s \frac{\partial A_s^{(1)}(T_2)}{\partial T_2} + G_s(T_2)A_s^{(1)}(T_2) \\ &\quad - Y_s^{(+)}\overline{A_n^{(1)}(T_2)A_p^{(1)}(T_2)A_q^{(1)}(T_2)} \exp[i\omega_n \sigma T_2]. \end{aligned} \quad (27)$$

Выражения для всех использованных здесь обозначений приведены в Приложении В. При рассмотрении второй резонансной ситуации $\omega_p - \omega_q - \omega_s = \omega_n(1 + \varepsilon^2 \sigma)$ система уравнений имеет вид, аналогичный (27).

Систему (27) необходимо дополнить условиями исключения секулярных членов из решений дифференциальных уравнений для амплитуд 2-го порядка малости мод n, p, q и s (см. (21)). Предположим, что моды n, p, q и s ни в каких других резонансах, кроме резонансов вида (26), не участвуют. Это означает, что для функций $A_n^{(1)}, A_p^{(1)}, A_q^{(1)}$ и $A_s^{(1)}$ при анализе задачи

2-го порядка малости следует записать соотношения, аналогичные (22), согласно которым $A_n^{(1)}, A_p^{(1)}, A_q^{(1)}$ и $A_s^{(1)}$ не зависят от времени T_1 . В результате получим, что в уравнениях (27) слева от знаков равенства стоят функции временного масштаба T_1 , а справа — функции, зависящие только от T_2 . Поскольку в методе многих масштабов T_1 и T_2 рассматриваются как независимые переменные, то следует отдельно левые и правые части уравнений (27) положить равными константе, например нулю.

Для функций $A_j^{(2)}$ (где $j = n, p, q, s$) получим

$$\frac{\partial A_j^{(2)}(T_1)}{\partial T_1} = 0,$$

откуда следует, что $A_j^{(2)}, a_j^{(2)}$ и $b_j^{(2)}$ являются постоянными величинами, равными своим начальным значениям, которые несложно получить из (11), используя разложение (12), а также учитывая (18), (20), (23),

$$a_j^{(2)} = -\frac{1}{4} \sum_{k \in \Omega} \sum_{m \in \Omega} (\lambda_{kmj}^{(+)} + \lambda_{kmj}^{(-)}) h_k h_m; \quad b_j^{(2)} = 0.$$

В результате выражение для амплитуд 2-го порядка малости (23) примет вид

$$\begin{aligned} M_n^{(2)}(t) &= \sum_{k=2}^{\infty} \sum_{m=2}^{\infty} \left\{ \lambda_{kmn}^{(+)} [\cos((\omega_k + \omega_m)t) - \cos(\omega_n t)] \right. \\ &\quad \left. + \lambda_{kmn}^{(-)} [\cos((\omega_k - \omega_m)t) - \cos(\omega_n t)] \right\} \frac{h_k h_m}{2}. \end{aligned} \quad (28)$$

Для функций $A_j^{(1)}$ (где $j = n, p, q, s$) получим комплексные уравнения, приравнявая нулю действительные и мнимые части, и запишем следующую систему для определения функций $a_j^{(1)}$ и $b_j^{(1)}$ ($j = n, p, q, s$)

$$\begin{aligned} a_n^{(1)}(T_2) \left(2\omega_n \left(\frac{\partial \beta_n^{(1)}(T_2)}{\partial T_2} - \omega_n \sigma \right) + G_n(T_2) \right) \\ - Y_n^{(\pm)} a_p^{(1)}(T_2) a_q^{(1)}(T_2) a_s^{(1)}(T_2) \cos[\varphi_{n,s,p,q}^{(-)(+)(\pm)}] &= 0; \\ 2\omega_n \frac{\partial a_n^{(1)}(T_2)}{\partial T_2} - Y_n^{(\pm)} a_p^{(1)}(T_2) a_q^{(1)}(T_2) a_s^{(1)}(T_2) \\ \times \sin[\varphi_{n,s,p,q}^{(-)(+)(\pm)}] &= 0; \\ a_p^{(1)}(T_2) \left(2\omega_p \frac{\partial b_p^{(1)}(T_2)}{\partial T_2} - G_p(T_2) \right) + Y_p^{(\pm)} a_n^{(1)}(T_2) \\ \times a_q^{(1)}(T_2) a_s^{(1)}(T_2) \cos[\varphi_{n,s,p,q}^{(-)(+)(\pm)}] &= 0; \\ 2\omega_p \frac{\partial a_p^{(1)}(T_2)}{\partial T_2} + Y_p^{(\pm)} a_n^{(1)}(T_2) a_q^{(1)}(T_2) a_s^{(1)}(T_2) \\ \times \sin[\varphi_{n,s,p,q}^{(-)(+)(\pm)}] &= 0; \end{aligned}$$

$$\begin{aligned}
 & a_q^{(1)}(T_2) \left(2\omega_q \frac{\partial b_q^{(1)}(T_2)}{\partial T_2} - G_q(T_2) \right) + Y_q^{(\pm)} a_n^{(1)}(T_2) \\
 & \quad \times a_s^{(1)}(T_2) a_p^{(1)}(T_2) \cos[\varphi_{n,s,p,q}^{(-)(+)(\pm)}] = 0; \\
 & 2\omega_q \frac{\partial a_q^{(1)}(T_2)}{\partial T_2} \pm Y_q^{(\pm)} a_n^{(1)}(T_2) a_s^{(1)}(T_2) a_p^{(1)}(T_2) \\
 & \quad \times \sin[\varphi_{n,s,p,q}^{(-)(+)(\pm)}] = 0; \\
 & a_s^{(1)}(T_2) \left(2\omega_s \frac{\partial b_s^{(1)}(T_2)}{\partial T_2} - G_s(T_2) \right) + Y_s^{(\pm)} a_n^{(1)}(T_2) \\
 & \quad \times a_q^{(1)}(T_2) a_p^{(1)}(T_2) \cos[\varphi_{n,s,p,q}^{(-)(+)(\pm)}] = 0; \\
 & 2\omega_s \frac{\partial a_s^{(1)}(T_2)}{\partial T_2} - Y_s^{(\pm)} a_n^{(1)}(T_2) a_q^{(1)}(T_2) a_p^{(1)}(T_2) \\
 & \quad \times \sin[\varphi_{n,s,p,q}^{(-)(+)(\pm)}] = 0; \\
 & \beta_n^{(1)}(T_2) = \omega_n \sigma T_2 - b_n^{(1)}(T_2); \\
 & \varphi_{n,s,p,q}^{(-)(+)(\pm)}(T_2) \equiv \beta_n^{(1)}(T_2) - b_s^{(1)}(T_2) \\
 & \quad + b_p^{(1)}(T_2) \pm b_q^{(1)}(T_2). \quad (29)
 \end{aligned}$$

Начальные условия для системы (29) также несложно получить из исходных условий (11), учитывая (12), (18), (20). Отметим, что из вида уравнений (29) следует, что четырехмодовый резонанс может проявляться лишь в том случае, если амплитуды хотя бы трех из взаимодействующих мод в начальный момент времени отличны от нуля. Рассмотрим для примера ситуацию, когда моды p, q и s присутствуют в спектре, определяющем начальную деформацию капли, а мода n возбуждается в результате межмодового взаимодействия (т.е. $p, q, s \in \Omega; n \notin \Omega$). Система уравнений (29) в этом случае должна быть дополнена следующими начальными условиями:

$$\begin{aligned}
 a_n^{(1)}(0) = 0; \quad \beta_n^{(1)}(0) = \pm \frac{\pi}{2}; \quad a_j^{(1)}(0) = \frac{h_j}{2}; \\
 b_j^{(1)}(0) = 0 \quad (j = p, q, s). \quad (30)
 \end{aligned}$$

Решения системы (29) с начальными условиями (30) определяют зависимость от медленного временного масштаба $T_2 = \varepsilon^2 t$ амплитуд 1-го порядка малости $M_j^{(1)}(t)$ (см. (20)) для мод, связанных резонансным взаимодействием ($j = p, q, s, n$).

7. На рис. 1 представлены результаты численных расчетов, выполненных для резонансной ситуации $\omega_{17} + \omega_{21} - \omega_{30} = \omega_2$, реализующейся при значении безразмерного параметра $W = 0.460245$ (параметр W характеризует величину заряда капли $W = Q^2/4\pi\gamma R^3$). Предполагалось, что начальное возмущение определяется 17-, 21- и 30-й модами, парциальные вклады которых в амплитуду этого возмущения ($\varepsilon = 0.1$) равны между собой ($h_{17} = h_{21} = h_{30} = 1/3$). Поскольку наибольший интерес представляет раскачка моды, отсутствующей в

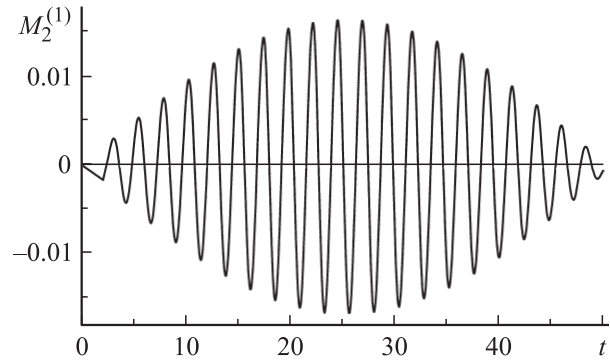


Рис. 1. Временная зависимость эволюционного коэффициента первого порядка малости в разложении в ряд по амплитуде начального возмущения амплитуды раскачиваемой основной (второй) моды капиллярных колебаний поверхности капли. Значение параметра W соответствует положению точного резонанса $W = 0.46, \varepsilon = 0.1, h_{17} = h_{21} = h_{30} = 1/3$.

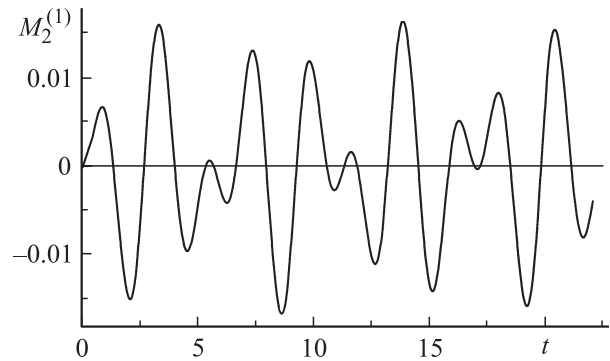


Рис. 2. Те же зависимости, что на рис. 1, рассчитанные при $\varepsilon = 0.3$.

спектре начального возмущения, то на рис. 1 (и всех последующих) приводятся только результаты, полученные для 2-й (основной) моды. Из представленных графиков видно, что для данной моды, раскачиваемой за счет четырехмодового резонансного взаимодействия, эволюционный коэффициент 1-го порядка малости $M_2^{(1)}(t)$ (см. разложения (12), (18)) может достигать лишь весьма незначительных амплитуд (на порядок меньших соответствующих амплитуд 17-, 21- и 30-й мод) и не превышает величин 2-го порядка малости. Увеличение относительной амплитуды начального возмущения ε приводит лишь к уменьшению периода резонансного взаимодействия, практически не сказываясь на амплитуде $M_2^{(1)}(t)$ (на рис. 2 представлены результаты аналогичных расчетов при $\varepsilon = 0.3$).

Естественно предположить, что в реальности форма начального возмущения поверхности капли определяется более широким спектром мод (а не только 17-, 21- и 30-й), тогда парциальный вклад интересующих нас мод уменьшится. На рис. 3 приведены результаты расчетов, выполненных для случая, когда $h_{17} = h_{21} = h_{30} = 1/12$, а $\varepsilon = 0.1$. Как и следовало ожидать, уменьшение пар-

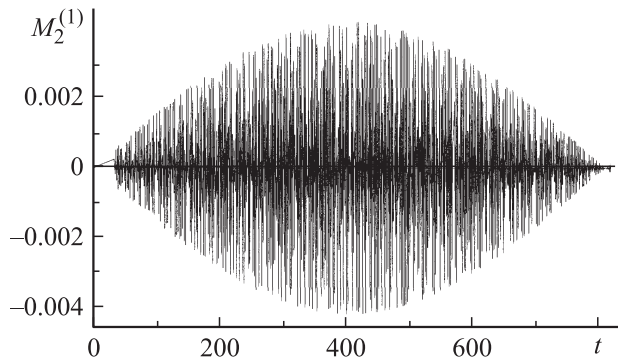


Рис. 3. Те же зависимости, что на рис. 1, рассчитанные при $h_{17} = h_{21} = h_{30} = 1/12$.

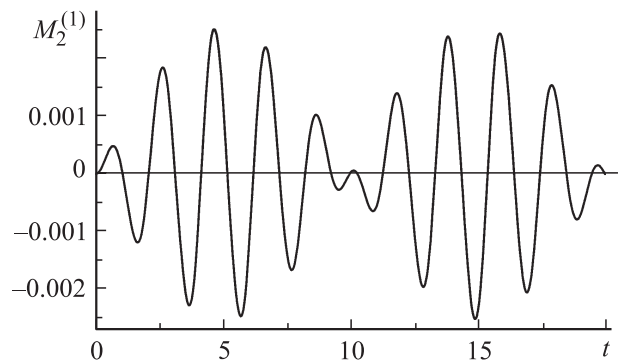


Рис. 4. Те же зависимости, что на рис. 1, рассчитанные при $W = 0$.

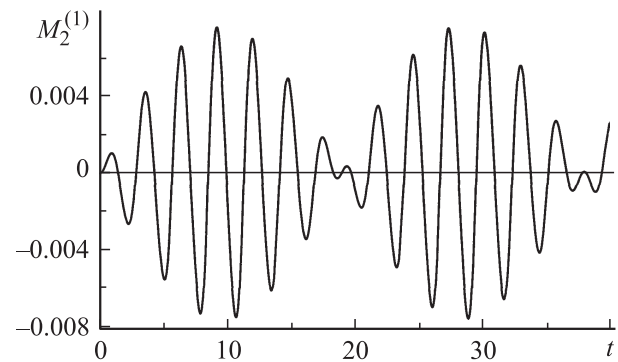


Рис. 5. Те же зависимости, что на рис. 1, рассчитанные при $W = 0.87$.

циального вклада резонансно взаимодействующих мод приводит к пропорциональному уменьшению амплитуды раскачиваемой основной моды. При этом значительно увеличивается период резонансного взаимодействия.

Изменение величины заряда капли (величины параметра W) приводит к увеличению параметра расстройки в соотношении (26), т.е. к ухудшению условий резонансной перекачки энергии из высоких мод в низкую — основную. На рис. 4 и 5 приведены зависимости, рассчитанные при значениях заряда капли, больших и меньших резонансного $W = 0$ и $W = 0.87$ соответственно. Пара-

метры расстройки в этих случаях практически одинаковы, но имеют разные знаки. Несложно заметить, что следствием изменения заряда капли является уменьшение как амплитуды резонансно раскачиваемой моды, так и периода резонансного взаимодействия. Отметим, что при увеличении заряда снижение амплитуды основной моды менее значительно, поскольку в обычных условиях (при отсутствии резонансов) увеличение заряда ведет к росту амплитуд колебательных мод.

Численные расчеты проводились также и для второй четырехмодовой резонансной ситуации $\omega_p - \omega_q - \omega_s = \omega_n(1 + \varepsilon^2\sigma)$ (см. (26)), реализующейся, например, для 34-, 30-, 10- и 2-й мод при значении параметра $W = 0.983454$. Однако полученные результаты полностью аналогичны представленным на рис. 1 и здесь не приводятся.

Расчет обычными методами теории нелинейных осцилляций [1–6] возникающей за счет нерезонансного межмодового взаимодействия поправки 2-го порядка малости $M_2^{(2)}(t)$ к амплитуде основной моды (см. (12), (18), (28)) показывает, что она достигает величины, сравнимой с $M_2^{(1)}(t)$. Это вызвано тем, что выражение для поправки второго порядка к амплитуде n -й моды $M_n^{(2)}(t)$ содержит коэффициенты

$$\lambda_{kmn}^{(-)} \sim \frac{1}{(\omega_n - \omega_k + \omega_m)(\omega_n + \omega_k - \omega_m)},$$

причем индексы k и m пробегает значения номеров мод из спектра начального возмущения. Очевидно, что когда k и m принимают одинаковые значения, $\lambda_{kkn}^{(-)} \sim 1/\omega_n^2$. Поскольку частота второй моды существенно меньше всех возможных частот колебательных мод, то величины коэффициентов $\lambda_{kkn}^{(-)}$, а следовательно, и поправки $M_2^{(2)}(t)$ значительно больше, чем аналогичные поправки $M_n^{(2)}(t)$ для высоких мод. В результате вклад нерезонансной поправки 2-го порядка в суммарную амплитуду основной моды (равной $\varepsilon^2 M_2^{(2)}(t)$) сравним с вкладом, вносимым эволюционным коэффициентом 1-го порядка ($\varepsilon M_2^{(1)}(t)$), появляющимся вследствие резонанса. Данное обстоятельство в сочетании с требованием равномерности асимптотического разложения для амплитуды раскачиваемой основной моды фактически накладывает ограничение сверху на величину малого параметра ε .

Заключение

При асимптотическом расчете нелинейных капиллярных осцилляций заряженной капли идеальной несжимаемой жидкости выяснилось, что в 3-м порядке малости по амплитуде многомодовой начальной деформации имеет место четырехмодовое внутреннее резонансное взаимодействие мод, обеспечивающее раскачку основной моды даже при отсутствии ее в спектре мод, возбужденных в начальный момент времени. Однако амплитуда основной моды, раскачиваемой при резонансной перекачке

в нее энергии из возбужденных в начальный момент времени высоких мод, хотя формально имеет первый порядок малости, тем не менее не превышает величины поправки 2-го порядка малости, появляющейся за счет нерезонансного нелинейного взаимодействия. Это делает возможность применения результатов проведенных расчетов к истолкованию проблемы инициирования разряда молнии достаточно проблематичной.

В том же 3-м порядке малости проявляется трехмодовое резонансное взаимодействие амплитуд мод 1-го порядка, возбужденных в начальный момент времени, с поправками к амплитудам, имеющим 2-й порядок малости.

Приложение А. Краевые задачи различных порядков малости

Подставляя разложения (12)–(15) в краевую задачу (2)–(11) и собирая слагаемые при одинаковых степенях ε , получим задачи различных порядков малости. В нижеследующем изложении для частных производных (например, по переменной x) используется обозначение ∂_x .

Выделяя слагаемые с ε^1 , получим задачу 1-го порядка малости

$$\Delta\psi^{(1)} = 0; \quad \Delta\phi^{(1)} = 0;$$

$$r \rightarrow 0: \quad \psi^{(1)} \rightarrow 0;$$

$$r \rightarrow +\infty: \quad \nabla\phi^{(1)} \rightarrow 0;$$

$$r = 1: \quad \partial_{T_0}\xi^{(1)} = \partial_r\psi^{(1)};$$

$$r = 1: \quad \partial_{T_0}\psi^{(1)} = \frac{1}{4\pi} \partial_r\phi^{(0)} (\partial_r\phi^{(1)} + \xi^{(1)}\partial_{rr}\phi^{(0)}) + 2\xi^{(1)} + \Delta_\Omega\xi^{(1)};$$

$$\int_{-1}^1 \xi^{(1)} d(\cos\vartheta) = 0; \quad \int_{-1}^1 \xi^{(1)} P_1 d(\cos\vartheta) = 0;$$

$$r = 1: \quad \int_{-1}^1 \{ \partial_r\phi^{(1)} + \xi^{(1)} (\partial_{rr}\phi^{(0)} + 2\partial_r\phi^{(0)}) \} d(\cos\vartheta) = 0;$$

$$r = 1: \quad \phi^{(1)} + \xi^{(1)}\partial_r\phi^{(0)} = \phi_S^{(1)}(t);$$

$$t = 0: \quad \xi^{(1)} = \xi \sum_{k \in \Omega} h_k P_k(\cos\vartheta); \quad \partial_{T_0}\xi^{(1)} = 0.$$

Слагаемые, содержащие ε^2 , определяют задачу 2-го порядка малости

$$\Delta\psi^{(2)} = 0; \quad \Delta\phi^{(2)} = 0;$$

$$r \rightarrow 0: \quad \psi^{(2)} \rightarrow 0;$$

$$r \rightarrow +\infty: \quad \nabla\phi^{(2)} \rightarrow 0;$$

$$r = 1: \quad \partial_{T_0}\xi^{(2)} + \partial_{T_1}\xi^{(1)} = \partial_r\psi^{(2)} + \xi^{(1)}\partial_{rr}\psi^{(1)} - \partial_\vartheta\xi^{(1)}\partial_\vartheta\psi^{(1)};$$

$$r = 1: \quad \partial_{T_0}\psi^{(2)} + \partial_{T_1}\psi^{(1)} + \xi^{(1)}\partial_{rT_0}\psi^{(1)} + \frac{1}{2} (\partial_r\psi^{(1)})^2 + \frac{1}{2} (\partial_\vartheta\psi^{(1)})^2 = \frac{1}{8\pi} \{ 2\xi^{(2)}\partial_r\phi^{(0)}\partial_{rr}\phi^{(0)} + (\xi^{(1)})^2 \times ((\partial_{rr}\phi^{(0)})^2 + \partial_{rrr}\phi^{(0)}\partial_r\phi^{(0)}) + (\partial_\vartheta\phi^{(1)})^2 + (\partial_r\phi^{(1)})^2 + 2\partial_r\phi^{(2)}\partial_r\phi^{(0)} + 2\xi^{(1)} (\partial_{rr}\phi^{(0)}\partial_r\phi^{(1)} + \partial_{rr}\phi^{(1)}\partial_r\phi^{(0)}) \} + 2\xi^{(2)} + \Delta_\Omega\xi^{(2)} - 2(\xi^{(1)})^2 - 2\xi^{(1)}\Delta_\Omega\xi^{(1)};$$

$$\int_{-1}^1 (\xi^{(2)} + (\xi^{(1)})^2) d(\cos\vartheta) = 0;$$

$$\int_{-1}^1 (2\xi^{(2)} + 3(\xi^{(1)})^2) P_1 d(\cos\vartheta) = 0;$$

$$r = 1: \quad \int_{-1}^1 \left\{ \partial_r\phi^{(2)} + \xi^{(1)} (\partial_{rr}\phi^{(1)} + 2\partial_r\phi^{(1)}) + \xi^{(2)} (\partial_{rr}\phi^{(0)} + 2\partial_r\phi^{(0)}) + (\xi^{(1)})^2 \left(\frac{1}{2} \partial_{rrr}\phi^{(0)} + 2\partial_{rr}\phi^{(0)} + \partial_r\phi^{(0)} \right) - \partial_\vartheta\xi^{(1)}\partial_\vartheta\phi^{(1)} \right\} d(\cos\vartheta) = 0;$$

$$r = 1: \quad \phi^{(2)} + \xi^{(1)}\partial_r\phi^{(1)} + \xi^{(2)}\partial_r\phi^{(0)} + \frac{1}{2} (\xi^{(1)})^2\partial_{rr}\phi^{(0)} = \phi_S^{(2)}(t);$$

$$t = 0: \quad \xi^{(2)} = - \sum_{k \in \Omega} \frac{h_k P_0(\cos\vartheta)}{2k+1}$$

$$- \frac{3}{2} \sum_{k, m \in \Omega} h_k h_m K_{km1} P_1(\cos\vartheta);$$

$$\partial_{T_0}\xi^{(2)} + \partial_{T_1}\xi^{(1)} = 0.$$

Задача 3-го порядка малости определяется слагаемыми, содержащими ε^3 ,

$$\Delta\psi^{(3)} = 0; \quad \Delta\phi^{(3)} = 0;$$

$$r \rightarrow 0: \quad \psi^{(3)} \rightarrow 0;$$

$$r \rightarrow +\infty: \quad \nabla\phi^{(3)} \rightarrow 0;$$

$$r = 1: \quad \partial_{T_0}\xi^{(3)} + \partial_{T_1}\xi^{(2)} + \partial_{T_2}\xi^{(1)} = \partial_r\psi^{(3)} - \partial_\vartheta\xi^{(2)}\partial_\vartheta\psi^{(1)} - \partial_\vartheta\xi^{(1)}\partial_\vartheta\psi^{(2)} + \xi^{(2)}\partial_{rr}\psi^{(1)} + \xi^{(1)} (\partial_\vartheta\xi^{(1)} (2\partial_\vartheta\psi^{(1)} - \partial_{r\vartheta}\psi^{(1)}) + \partial_{rr}\psi^{(2)}) + \frac{1}{2} (\xi^{(1)})^2\partial_{rrr}\psi^{(1)};$$

$$\begin{aligned}
r = 1 : \quad & \partial_{T_0}\psi^{(3)} + \partial_{T_2}\psi^{(1)} + \partial_{T_1}\psi^{(2)} + \xi^{(1)}\partial_{rT_1}\psi^{(1)} \\
& + \partial_{\vartheta}\psi^{(1)}\partial_{\vartheta}\psi^{(2)} + \partial_r\psi^{(1)}\partial_r\psi^{(2)} + \xi^{(2)}\partial_{rT_0}\psi^{(1)} + \xi^{(1)} \\
& \times (\partial_{rT_0}\psi^{(2)} + \partial_{\vartheta}\psi^{(1)}(\partial_{r\vartheta}\psi^{(1)} - \partial_{\vartheta}\psi^{(1)}) + \partial_r\psi^{(1)}\partial_{rr}\psi^{(1)}) \\
& + \frac{1}{2}(\xi^{(1)})^2\partial_{rrT_0}\psi^{(1)} = \frac{1}{8\pi} \left\{ 2\xi^{(3)}\partial_r\phi^{(0)}\partial_{rr}\phi^{(0)} + (\xi^{(1)})^3 \right. \\
& \times \left(\partial_{rr}\phi^{(0)}\partial_{rrr}\phi^{(0)} + \frac{1}{3}\partial_r\phi^{(0)}\partial_{rrrr}\phi^{(0)} \right) + 2(\partial_{\vartheta}\phi^{(1)}\partial_{\vartheta}\phi^{(2)} \\
& + \partial_r\phi^{(1)}(\xi^{(2)}\partial_{rr}\phi^{(0)} + \partial_r\phi^{(2)}) + \partial_r\phi^{(0)}\partial_r\phi^{(3)} \\
& + \xi^{(2)}\partial_r\phi^{(0)}\partial_{rr}\phi^{(1)} + 2\xi^{(1)}(\xi^{(2)}((\partial_{rr}\phi^{(0)})^2 \\
& + \partial_r\phi^{(0)}\partial_{rrr}\phi^{(0)}) + \partial_{rr}\phi^{(0)}\partial_r\phi^{(2)} + \partial_{\vartheta}\phi^{(1)} \\
& \times (\partial_{r\vartheta}\phi^{(1)} - \partial_{\vartheta}\phi^{(1)}) + \partial_r\phi^{(1)}\partial_{rr}\phi^{(1)} + \partial_r\phi^{(0)}\partial_{rr}\phi^{(2)}) \\
& + (\xi^{(1)})^2(\partial_{rrr}\phi^{(0)}\partial_r\phi^{(1)} + 2\partial_{rr}\phi^{(0)}\partial_{rr}\phi^{(1)} \\
& + \partial_r\phi^{(0)}\partial_{rrr}\phi^{(1)}) \left. \right\} + (2 + \Delta_{\Omega})\xi^{(3)} + 2\xi^{(1)}((\xi^{(1)})^2 \\
& - (2 + \Delta_{\Omega})\xi^{(2)}) - 2\xi^{(2)}\Delta_{\Omega}\xi^{(1)} + 3(\xi^{(1)})^2\Delta_{\Omega}\xi^{(1)} \\
& - (\partial_{\vartheta}\xi^{(1)})^2\partial_{\vartheta}\xi^{(1)} - \frac{1}{2}(\partial_{\vartheta}\xi^{(1)})^2\Delta_{\Omega}\xi^{(1)};
\end{aligned}$$

$$\int_{-1}^1 (3\xi^{(3)} + 6\xi^{(1)}\xi^{(2)} + (\xi^{(1)})^3)d(\cos\vartheta) = 0;$$

$$\int_{-1}^1 (\xi^{(3)} + 3\xi^{(1)}\xi^{(2)} + (\xi^{(1)})^3)P_1(\cos\vartheta)d(\cos\vartheta) = 0;$$

$$\begin{aligned}
r = 1 : \quad & \int_{-1}^1 \left\{ \partial_r\phi^{(3)} + \xi^{(3)}(\partial_{rr}\phi^{(0)} + 2\partial_r\phi^{(0)}) \right. \\
& + \xi^{(2)}(\partial_{rr}\phi^{(1)} + 2\partial_r\phi^{(1)}) + (\xi^{(1)})^3 \left(\frac{1}{6}\partial_{rrrr}\phi^{(0)} \right. \\
& + \partial_{rrr}\phi^{(0)} + \partial_{rr}\phi^{(0)} \left. \right) + (\xi^{(1)})^2 \left(\frac{1}{2}\partial_{rrr}\phi^{(1)} + 2\partial_{rr}\phi^{(1)} \right. \\
& + \partial_r\phi^{(1)} \left. \right) + \xi^{(1)}(\xi^{(2)}(\partial_{rrr}\phi^{(0)} + 4\partial_{rr}\phi^{(0)} + 2\partial_r\phi^{(0)}) \\
& + 2\partial_r\phi^{(2)} + \partial_{rr}\phi^{(2)} - \partial_{\vartheta}\xi^{(1)}\partial_{r\vartheta}\phi^{(1)} - \partial_{\vartheta}\xi^{(2)}\partial_{\vartheta}\phi^{(1)} \\
& \left. - \partial_{\vartheta}\xi^{(1)}\partial_{\vartheta}\phi^{(2)} \right\} d(\cos\vartheta) = 0;
\end{aligned}$$

$$\begin{aligned}
r = 1 : \quad & \phi^{(3)} + \xi^{(1)}\partial_r\phi^{(2)} + \xi^{(2)}\partial_r\phi^{(1)} + \xi^{(3)}\partial_r\phi^{(0)} \\
& + \frac{1}{2}(\xi^{(1)})^2\partial_{rr}\phi^{(1)} + \xi^{(1)}\xi^{(2)}\partial_{rr}\phi^{(0)} \\
& + \frac{1}{6}(\xi^{(1)})^3\partial_{rrr}\phi^{(0)} = \phi_S^{(3)}(t);
\end{aligned}$$

$$t = 0 : \quad \xi^{(3)} = - \sum_{k,m,l \in \Omega} \frac{h_k h_m h_l}{3(2l+1)} K_{kml} P_0(\cos\vartheta)$$

$$- \left(\frac{9}{5} h_2 \sum_{k,m \in \Omega} h_k h_m K_{km1} + \sum_{g=0}^{\infty} \sum_{k,m,l \in \Omega} h_k h_m h_l K_{kmg} K_{gl1} \right) P_1(\cos\vartheta);$$

$$t = 0 : \quad \partial_{T_0}\xi^{(3)} + \partial_{T_1}\xi^{(2)} + \partial_{T_2}\xi^{(1)} = 0,$$

где $K_{kmn} = (C_{k0m0}^{n0})^2$, а C_{k0m0}^{n0} — коэффициенты Клебша–Гордана.

Приложение В. Использованные обозначения

$$\begin{aligned}
\gamma_{kmn} = & K_{kmn} [\omega_k^2(n-k+1) + 2n(m(m+1)-1) \\
& + (m(k+1) - k(2k-2n+7) + 3)nW/2] \\
& + \alpha_{kmn} [\omega_k^2/k + nW/2];
\end{aligned}$$

$$\eta_{kmn} = K_{kmn}(n/2 - k + 1) + \alpha_{kmn}(1 + n/(2m))/k;$$

$$K_{kmn} = (C_{k0m0}^{n0})^2;$$

$$\alpha_{kmn} = -C_{k0m0}^{n0} C_{k(-1)m1}^{n0} \sqrt{k(k+1)m(m+1)};$$

$$\lambda_{kmn}^{(\pm)} = (\gamma_{kmn} \pm \omega_k \omega_m \eta_{kmn}) / (\omega_n^2 - (\omega_k \pm \omega_m)^2);$$

$$H_{kgn}^{0(+)} = (\Pi_{kgn}^0 - \Pi_{kgn}^1 \omega_k \omega_g - \Pi_{kgn}^2 \omega_g^2) (\lambda_{kkg}^+ + \lambda_{kkg}^-);$$

$$H_{kgn}^{0(-)} = (\Pi_{kgn}^0 + \Pi_{kgn}^1 \omega_k \omega_g - \Pi_{kgn}^2 \omega_g^2) (\lambda_{kkg}^+ + \lambda_{kkg}^-);$$

$$\Pi_{kgn}^0 = \left(\omega_k^2(n-k+1) + 2n((k-1)(k+2) + g(g+1)) \right.$$

$$\left. + nW(3 - k(3-n+k) - g(3-n-k+g)) \right) K_{kgn}$$

$$+ (\omega_k^2/k + nW)\alpha_{kgn};$$

$$\Pi_{kgn}^1 = (g+k-n-2)K_{kgn} - (n+k+g)\alpha_{kgn}/(gk);$$

$$\Pi_{kgn}^2 = (g-n-1)K_{kgn} - \alpha_{kgn}/g;$$

$$\Xi_n = 3(\omega_n^2 - n(n-1)W); \quad \chi_l = -\frac{9(l+1)}{(2l+1)(2l+3)};$$

$$\beta_{kmgln}^{1(+)} = \Pi_{kgn}^0 - \Pi_{kgn}^1 \omega_k(\omega_l + \omega_m) - \Pi_{kgn}^2 (\omega_l + \omega_m)^2;$$

$$\beta_{kmgln}^{1(-)} = \Pi_{kgn}^0 - \Pi_{kgn}^1 \omega_k(\omega_l - \omega_m) - \Pi_{kgn}^2 (\omega_l - \omega_m)^2;$$

$$\beta_{kmgln}^{2(+)} = \Pi_{kgn}^0 + \Pi_{kgn}^1 \omega_k(\omega_l + \omega_m) - \Pi_{kgn}^2 (\omega_l + \omega_m)^2;$$

$$\beta_{kmgln}^{2(-)} = \Pi_{kgn}^0 + \Pi_{kgn}^1 \omega_k(\omega_l - \omega_m) - \Pi_{kgn}^2 (\omega_l - \omega_m)^2;$$

$$H_{kmln}^{1(+)(-)} = \sum_{g=2}^{\infty} \beta_{kmgln}^{1(+)} \lambda_{lmg}^{(+)} + \sum_{g=1}^{\infty} \mu_{kmgln}^{1(-)} + \sum_{g=0}^{\infty} \mu_{kmgln}^{0(-)};$$

$$H_{kmln}^{1(-)(+)} = \sum_{g=2}^{\infty} \beta_{kmgln}^{1(-)} \lambda_{lmg}^{(-)} + \sum_{g=1}^{\infty} \mu_{kmgln}^{1(+)} + \sum_{g=0}^{\infty} \mu_{kmgln}^{0(+)};$$

$$H_{kmln}^{2(+)(+)} = \sum_{g=2}^{\infty} \beta_{kmgln}^{2(+)} \lambda_{lmg}^{(+)} + \sum_{g=1}^{\infty} \mu_{kmgln}^{1(+)} + \sum_{g=0}^{\infty} \mu_{kmgln}^{0(+)};$$

$$H_{kmln}^{2(-)(-)} = \sum_{g=2}^{\infty} \beta_{kmgln}^{2(-)} \lambda_{lmg}^{(-)} + \sum_{g=1}^{\infty} \mu_{kmgln}^{1(-)} + \sum_{g=0}^{\infty} \mu_{kmgln}^{0(-)};$$

$$\mu_{kmgln}^{1(-)} = \Lambda_{kmgln}^1 - \Gamma_{kmgln}^1 \omega_m \omega_k;$$

$$\mu_{kmgln}^{1(+)} = \Lambda_{kmgln}^1 + \Gamma_{kmgln}^1 \omega_m \omega_k;$$

$$\mu_{kmgln}^{0(-)} = \Lambda_{kmgln}^0 - \Gamma_{kmgln}^0 \omega_m \omega_k;$$

$$\mu_{kmgln}^{0(+)} = \Lambda_{kmgln}^0 + \Gamma_{kmgln}^0 \omega_m \omega_k;$$

$$\Lambda_{kmgln}^0 = \frac{1}{2k} \left\{ K_{gln} \left[\alpha_{kmg} \left(2(k-2)\omega_k^2 - kn(2(k+2)W - l(3l+1)) \right) + K_{kmg} \left(kn(4-6k(k+1) + (k^3 - 2(m+1)(m+2) - k^2(n-9) - k(3n+2m(m+3) - 22))W) - (k-1) \times k(k-n-2)\omega_k^2 \right) \right] - 2kn\alpha_{kmg} \times \sum_{v=1}^{[l/2]} (2l-4v+1)K_{g,l-2v,n} \right\};$$

$$\Lambda_{kmgln}^1 = ((g-n-1)K_{gln} - \alpha_{gln}/g)((m-1)K_{kmg} - \alpha_{kmg}/m)\omega_m^2 + Wnk((g+1)(l+n - g-2)K_{gln} + \alpha_{gln})K_{kmg};$$

$$\Gamma_{kmgln}^0 = ((k-1)(k-2(n+1))K_{kmg}/2 - ((k-1) \times (m+n) - m)\alpha_{kmg}/(km))K_{gln} + ((k-1) \times (k-2)K_{klg}/2 - (k-2)\alpha_{klg}/k)K_{gmn};$$

$$\Gamma_{kmgln}^1 = -((g-n-1)K_{gkn} - (n+k)\alpha_{gkn}/(kg)) \times ((m-1)K_{lmg} - \alpha_{lmg}/m) - ((g-n-1)K_{gln} - \alpha_{gln}/g)((m-1)K_{kmg} - \alpha_{kmg}/m);$$

$$G_n \equiv \sum_{k=2}^{\infty} \left\{ \frac{1}{(2k+1)} [2\Xi_n + \delta_{n,k}(2(k-1)\omega_k^2 + \Xi_k)] - (\delta_{k,n-1} + \delta_{k,n+1})\chi_{k-\delta_{k,n+1}} [\beta_{k,k,1,n,n}^{2(+)} + \beta_{k,k,1,n,n}^{1(-)}] - \sum_{g=0}^{\infty} \left\{ (1-\delta_{g,0})(1-\delta_{g,1}) [\beta_{k,k,g,n,n}^{2(+)} (\lambda_{kng}^{(+)} + (1-\delta_{k,n}) \times \lambda_{nkg}^{(+)} + \beta_{k,k,g,n,n}^{1(-)} (\lambda_{kng}^{(-)} + \lambda_{nkg}^{(-)}) + 2(1-\delta_{k,n})\Pi_{ngn}^0 \lambda_{kk}^{(-)}] + (2-\delta_{k,n})[(1-\delta_{g,0})Z_{k,g,n}^1 + Z_{k,g,n}^0] \right\} \right\} (A_k^{(1)} \overline{A_k^{(1)}});$$

$$Z_{k,g,n}^i \equiv \mu_{k,k,g,n,n}^{i(+)} + \Lambda_{n,k,g,k,n}^i + \Lambda_{k,n,g,k,n}^i \quad (i=0;1);$$

$$D_{k,n}^{l,m} \equiv 1 - \delta_{k,n} \delta_{l,m};$$

$$Y_n^{(+)} = D_{q,n}^{p,s} (\delta_{p,n-1} + \delta_{p,n+1}) (\delta_{s,q+1}\chi_q + \delta_{q,s+1}\chi_s) \beta_{p,s,1,q,n}^{1(-)} + D_{p,n}^{q,s} (\delta_{q,n-1} + \delta_{q,n+1}) (\delta_{s,p+1}\chi_p + \delta_{p,s+1}\chi_s) \beta_{q,s,1,p,n}^{1(-)} + D_{q,n}^{p,s} D_{p,n}^{q,s} [(\delta_{s,n-1} + \delta_{s,n+1}) (\delta_{q,p+1}\chi_p + \delta_{p,q+1}\chi_q) \beta_{p,s,1,q,n}^{2(+)} + H_{p,s,q,n}^{1(-)(+)} + H_{q,s,p,n}^{1(-)(+)} + H_{p,q,s,n}^{2(-)(-)} + H_{q,p,s,n}^{2(-)(-)} + H_{s,q,p,n}^{2(+)(+)} + H_{s,p,q,n}^{2(+)(+)}];$$

$$Y_n^{(-)} = D_{q,n}^{p,s} (\delta_{s,n-1} + \delta_{s,n+1}) (\delta_{p,q+1}\chi_q + \delta_{q,p+1}\chi_p) \beta_{s,p,1,q,n}^{1(-)} + D_{s,n}^{q,p} (\delta_{q,n-1} + \delta_{q,n+1}) (\delta_{p,s+1}\chi_s + \delta_{s,p+1}\chi_p) \beta_{q,p,1,s,n}^{1(-)} + D_{q,n}^{p,s} D_{s,n}^{q,p} [(\delta_{p,n-1} + \delta_{p,n+1}) (\delta_{q,s+1}\chi_s + \delta_{s,q+1}\chi_q) \beta_{p,s,1,q,n}^{2(+)} + H_{s,p,q,n}^{1(-)(+)} + H_{q,p,s,n}^{1(-)(+)} + H_{s,q,p,n}^{2(-)(-)} + H_{q,s,p,n}^{2(-)(-)} + H_{p,q,s,n}^{2(+)(+)} + H_{p,s,q,n}^{2(+)(+)}];$$

$$Y_p^{(+)} = D_{q,n}^{p,s} (\delta_{n,p-1} + \delta_{n,p+1}) (\delta_{q,s+1}\chi_s + \delta_{s,q+1}\chi_q) \beta_{n,q,1,s,p}^{1(-)} + D_{p,n}^{q,s} (\delta_{s,p-1} + \delta_{s,p+1}) (\delta_{q,n+1}\chi_n + \delta_{n,q+1}\chi_q) \beta_{s,q,1,n,p}^{1(-)} + D_{p,n}^{q,s} D_{q,n}^{p,s} [(\delta_{q,p-1} + \delta_{q,p+1}) (\delta_{s,n+1}\chi_n + \delta_{n,s+1}\chi_s) \beta_{q,s,1,n,p}^{2(+)} + H_{n,q,s,p}^{1(-)(+)} + H_{s,q,n,p}^{1(-)(+)} + H_{n,s,q,p}^{2(-)(-)} + H_{s,n,q,p}^{2(-)(-)} + H_{q,s,n,p}^{2(+)(+)} + H_{q,n,s,p}^{2(+)(+)}];$$

$$Y_p^{(-)} = (\delta_{n,p-1} + \delta_{n,p+1}) (\delta_{q,s+1}\chi_s + \delta_{s,q+1}\chi_q) \beta_{n,q,1,s,p}^{1(+)} + (\delta_{s,p-1} + \delta_{s,p+1}) (\delta_{q,n+1}\chi_n + \delta_{n,q+1}\chi_q) \beta_{s,q,1,n,p}^{1(+)} + (\delta_{q,p-1} + \delta_{q,p+1}) (\delta_{s,n+1}\chi_n + \delta_{n,s+1}\chi_s) \beta_{q,s,1,n,p}^{1(+)} + H_{n,q,s,p}^{1(+)(-)} + H_{s,q,n,p}^{1(+)(-)} + H_{n,s,q,p}^{1(+)(-)} + H_{s,n,q,p}^{1(+)(-)} + H_{q,s,n,p}^{1(+)(-)} + H_{q,n,s,p}^{1(+)(-)};$$

$$\begin{aligned}
Y_q^{(+)} &= Y_q^{(-)} = D_{p,n}^{q,s} (\delta_{n,q-1} + \delta_{n,q+1}) (\delta_{p,s+1}\chi_s + \delta_{s,p+1}\chi_p) \\
&\times \beta_{n,p,1,s,q}^{1(-)} + D_{q,n}^{p,s} (\delta_{s,q-1} + \delta_{s,q+1}) (\delta_{p,n+1}\chi_n + \delta_{n,p+1}\chi_p) \\
&\times \beta_{s,p,1,n,q}^{1(-)} + D_{p,n}^{q,s} D_{q,n}^{p,s} [(\delta_{p,q-1} + \delta_{p,q+1}) (\delta_{s,n+1}\chi_n \\
&+ \delta_{n,s+1}\chi_s) \beta_{p,s,1,n,q}^{2(+)} + H_{n,p,s,q}^{1(-)(+)} + H_{s,p,n,q}^{1(-)(+)} + H_{n,s,p,q}^{2(-)(-)} \\
&+ H_{s,n,p,q}^{2(-)(-)} + H_{p,s,n,p}^{2(+)(+)} + H_{p,n,s,q}^{2(+)(+)}]; \\
Y_s^{(+)} &= D_{p,n}^{q,s} (\delta_{p,s-1} + \delta_{p,s+1}) (\delta_{n,q+1}\chi_q + \delta_{q,n+1}\chi_n) \beta_{p,n,1,q,s}^{1(-)} \\
&+ D_{q,n}^{p,s} (\delta_{q,s-1} + \delta_{q,s+1}) (\delta_{n,p+1}\chi_p + \delta_{p,n+1}\chi_n) \beta_{q,n,1,p,s}^{1(-)} \\
&+ D_{p,n}^{q,s} D_{q,n}^{p,s} [(\delta_{n,s-1} + \delta_{n,s+1}) (\delta_{q,p+1}\chi_p + \delta_{p,q+1}\chi_q) \beta_{n,p,1,q,s}^{2(+)} \\
&+ H_{p,n,q,s}^{1(-)(+)} + H_{q,n,p,s}^{1(-)(+)} + H_{p,q,n,s}^{2(-)(-)} \\
&+ H_{q,p,n,s}^{2(-)(-)} + H_{n,q,p,s}^{2(+)(+)} + H_{n,p,q,s}^{2(+)(+)}]; \\
Y_s^{(-)} &= D_{p,n}^{q,s} (\delta_{n,s-1} + \delta_{n,s+1}) (\delta_{p,q+1}\chi_q + \delta_{q,p+1}\chi_p) \beta_{n,p,1,q,s}^{1(-)} \\
&+ D_{s,n}^{q,p} (\delta_{q,s-1} + \delta_{q,s+1}) (\delta_{p,n+1}\chi_n + \delta_{n,p+1}\chi_p) \beta_{q,p,1,n,p}^{1(-)} \\
&+ D_{p,n}^{q,s} D_{s,n}^{q,p} [(\delta_{p,s-1} + \delta_{p,s+1}) (\delta_{q,n+1}\chi_n + \delta_{n,q+1}\chi_q) \beta_{p,n,1,q,s}^{2(+)} \\
&+ H_{n,p,q,s}^{1(-)(+)} + H_{q,p,n,s}^{1(-)(+)} + H_{n,q,p,s}^{2(-)(-)} \\
&+ H_{q,n,p,s}^{2(-)(-)} + H_{p,q,n,s}^{2(+)(+)} + H_{p,n,q,s}^{2(+)(+)}];
\end{aligned}$$

Работа выполнена при поддержке РФФИ (грант № 03-01-00760).

Список литературы

- [1] Tsamopoulos J.A., Brown R.A. // J. Fluid Mech. 1983. Vol. 127. P. 519–537.
- [2] Tsamopoulos J.A., Brown R.A. // J. Fluid Mech. 1984. Vol. 147. P. 373–395.
- [3] Белоножко Д.Ф., Григорьев А.И. // ЖТФ. 2000. Т. 70. Вып. 8. С. 45–52.
- [4] Ширяева С.О. // ПЖТФ. 2000. Т. 26. Вып. 22. С. 76–83.
- [5] Ширяева С.О. // ЖТФ. 2001. Т. 71. Вып. 2. С. 27–35.
- [6] Ширяева С.О. // Изв. РАН. МЖГ. 2001. № 3. С. 163–174.
- [7] Ширяева С.О. // ЖТФ. 2002. Т. 72. Вып. 4. С. 15–22.
- [8] Жаров А.Н., Григорьев А.И., Ширяева С.О. // ЖТФ. 2003. Т. 73. Вып. 6. С. 36–45.
- [9] Дячук В.А., Мучник В.М. // ДАН СССР. 1979. Т. 248. № 1. С. 60–63.
- [10] Grigor'ev A.I., Shiryayeva S.O. // Physica Scripta. 1996. Vol. 54. P. 660–666.
- [11] Облака и облачная атмосфера. Справочник / Под ред. И.П. Мазин и др. Л.: Гидрометеоздат, 1989. 647 с.
- [12] Ширяева С.О., Белоножко Д.Ф., Григорьев А.И. // ПЖТФ. 2002. Т. 28. Вып. 22. С. 45–51.
- [13] Ширяева С.О. // ЖТФ. 2003. Т. 73. Вып. 2. С. 19–30.
- [14] Ширяева С.О., Григорьев А.И., Белоножко Д.Ф. // ПЖТФ. 2003. Т. 29. Вып. 6. С. 69–75.
- [15] Жаров А.Н., Григорьев А.И., Ширяева С.О. // ПЖТФ. 2003. Т. 29. Вып. 9. С. 75–82.